

Starkniederschlagshöhen und -spenden gemäß KOSTRA-DWD-2020

Rasterfeld 213191

(Zeile 213, Spalte 191)

Regenspende und Bemessungsniederschlagswerte in Abhängigkeit von Wiederkehrzeit T und Dauerstufe D

| Dauerstufe D | | Wiederkehrzeit T | | | | | | | | | | | | | | | | | |
|--------------|-----|------------------|------------|-------|------------|-------|------------|-------|------------|-------|------------|-------|------------|-------|------------|-------|------------|-------|------------|
| | | 1 a | | 2 a | | 3 a | | 5 a | | 10 a | | 20 a | | 30 a | | 50 a | | 100 a | |
| min | Std | mm | l / (s ha) | mm | l / (s ha) | mm | l / (s ha) | mm | l / (s ha) | mm | l / (s ha) | mm | l / (s ha) | mm | l / (s ha) | mm | l / (s ha) | mm | l / (s ha) |
| 5 | | 8,1 | 270,0 | 10,2 | 340,0 | 11,4 | 380,0 | 13,1 | 436,7 | 15,5 | 516,7 | 18,0 | 600,0 | 19,6 | 653,3 | 21,8 | 726,7 | 24,8 | 826,7 |
| 10 | | 10,7 | 178,3 | 13,4 | 223,3 | 15,1 | 251,7 | 17,3 | 288,3 | 20,5 | 341,7 | 23,8 | 396,7 | 26,0 | 433,3 | 28,8 | 480,0 | 32,8 | 546,7 |
| 15 | | 12,5 | 138,9 | 15,7 | 174,4 | 17,6 | 195,6 | 20,2 | 224,4 | 23,9 | 265,6 | 27,7 | 307,8 | 30,3 | 336,7 | 33,5 | 372,2 | 38,2 | 424,4 |
| 20 | | 13,9 | 115,8 | 17,4 | 145,0 | 19,6 | 163,3 | 22,4 | 186,7 | 26,5 | 220,8 | 30,8 | 256,7 | 33,6 | 280,0 | 37,2 | 310,0 | 42,5 | 354,2 |
| 30 | | 16,0 | 88,9 | 20,1 | 111,7 | 22,6 | 125,6 | 25,9 | 143,9 | 30,6 | 170,0 | 35,6 | 197,8 | 38,8 | 215,6 | 43,0 | 238,9 | 49,0 | 272,2 |
| 45 | | 18,4 | 68,1 | 23,1 | 85,6 | 26,0 | 96,3 | 29,8 | 110,4 | 35,3 | 130,7 | 40,9 | 151,5 | 44,6 | 165,2 | 49,5 | 183,3 | 56,4 | 208,9 |
| 60 | 1 | 20,3 | 56,4 | 25,5 | 70,8 | 28,7 | 79,7 | 32,9 | 91,4 | 38,9 | 108,1 | 45,2 | 125,6 | 49,2 | 136,7 | 54,6 | 151,7 | 62,3 | 173,1 |
| 90 | 1,5 | 23,3 | 43,1 | 29,3 | 54,3 | 32,9 | 60,9 | 37,7 | 69,8 | 44,7 | 82,8 | 51,8 | 95,9 | 56,5 | 104,6 | 62,7 | 116,1 | 71,4 | 132,2 |
| 120 | 2 | 25,7 | 35,7 | 32,2 | 44,7 | 36,3 | 50,4 | 41,6 | 57,8 | 49,2 | 68,3 | 57,1 | 79,3 | 62,3 | 86,5 | 69,0 | 95,8 | 78,7 | 109,3 |
| 180 | 3 | 29,5 | 27,3 | 36,9 | 34,2 | 41,6 | 38,5 | 47,6 | 44,1 | 56,4 | 52,2 | 65,4 | 60,6 | 71,3 | 66,0 | 79,1 | 73,2 | 90,2 | 83,5 |
| 240 | 4 | 32,4 | 22,5 | 40,7 | 28,3 | 45,8 | 31,8 | 52,5 | 36,5 | 62,1 | 43,1 | 72,0 | 50,0 | 78,6 | 54,6 | 87,1 | 60,5 | 99,3 | 69,0 |
| 360 | 6 | 37,1 | 17,2 | 46,6 | 21,6 | 52,4 | 24,3 | 60,0 | 27,8 | 71,1 | 32,9 | 82,5 | 38,2 | 89,9 | 41,6 | 99,7 | 46,2 | 113,7 | 52,6 |
| 540 | 9 | 42,5 | 13,1 | 53,3 | 16,5 | 60,0 | 18,5 | 68,7 | 21,2 | 81,4 | 25,1 | 94,4 | 29,1 | 102,9 | 31,8 | 114,1 | 35,2 | 130,1 | 40,2 |
| 720 | 12 | 46,8 | 10,8 | 58,6 | 13,6 | 66,0 | 15,3 | 75,6 | 17,5 | 89,5 | 20,7 | 103,9 | 24,1 | 113,3 | 26,2 | 125,6 | 29,1 | 143,2 | 33,1 |
| 1080 | 18 | 53,5 | 8,3 | 67,1 | 10,4 | 75,5 | 11,7 | 86,5 | 13,3 | 102,5 | 15,8 | 118,9 | 18,3 | 129,6 | 20,0 | 143,7 | 22,2 | 163,9 | 25,3 |
| 1440 | 24 | 58,9 | 6,8 | 73,8 | 8,5 | 83,1 | 9,6 | 95,2 | 11,0 | 112,7 | 13,0 | 130,8 | 15,1 | 142,6 | 16,5 | 158,1 | 18,3 | 180,3 | 20,9 |
| 2880 | 48 | 74,1 | 4,3 | 92,9 | 5,4 | 104,6 | 6,1 | 119,9 | 6,9 | 141,9 | 8,2 | 164,6 | 9,5 | 179,5 | 10,4 | 199,0 | 11,5 | 226,9 | 13,1 |
| 4320 | 72 | 84,8 | 3,3 | 106,3 | 4,1 | 119,6 | 4,6 | 137,1 | 5,3 | 162,3 | 6,3 | 188,3 | 7,3 | 205,3 | 7,9 | 227,6 | 8,8 | 259,6 | 10,0 |
| 5760 | 96 | 93,3 | 2,7 | 116,9 | 3,4 | 131,6 | 3,8 | 150,8 | 4,4 | 178,6 | 5,2 | 207,2 | 6,0 | 225,9 | 6,5 | 250,4 | 7,2 | 285,6 | 8,3 |
| 7200 | 120 | 100,4 | 2,3 | 125,9 | 2,9 | 141,7 | 3,3 | 162,4 | 3,8 | 192,3 | 4,5 | 223,1 | 5,2 | 243,3 | 5,6 | 269,7 | 6,2 | 307,6 | 7,1 |
| 8640 | 144 | 106,7 | 2,1 | 133,8 | 2,6 | 150,5 | 2,9 | 172,6 | 3,3 | 204,3 | 3,9 | 237,0 | 4,6 | 258,4 | 5,0 | 286,5 | 5,5 | 326,7 | 6,3 |
| 10080 | 168 | 112,3 | 1,9 | 140,8 | 2,3 | 158,4 | 2,6 | 181,6 | 3,0 | 215,0 | 3,6 | 249,5 | 4,1 | 272,0 | 4,5 | 301,5 | 5,0 | 343,9 | 5,7 |

Starkniederschlagshöhen und -spenden gemäß KOSTRA-DWD-2020

Rasterfeld 213191

(Zeile 213, Spalte 191)

Örtliche Unsicherheiten in Abhängigkeit von Wiederkehrzeit T und Dauerstufe D

| Dauerstufe D | | Wiederkehrzeit T | | | | | | | | |
|--------------|-----|------------------|-----|-----|-----|------|------|------|------|-------|
| | | 1 a | 2 a | 3 a | 5 a | 10 a | 20 a | 30 a | 50 a | 100 a |
| min | Std | ± % | ± % | ± % | ± % | ± % | ± % | ± % | ± % | ± % |
| 5 | | 26 | 27 | 28 | 28 | 29 | 30 | 30 | 30 | 31 |
| 10 | | 27 | 29 | 29 | 30 | 31 | 31 | 32 | 32 | 33 |
| 15 | | 28 | 29 | 30 | 30 | 31 | 32 | 32 | 33 | 33 |
| 20 | | 28 | 29 | 30 | 30 | 31 | 32 | 32 | 33 | 33 |
| 30 | | 27 | 28 | 29 | 30 | 31 | 31 | 32 | 32 | 33 |
| 45 | | 26 | 27 | 28 | 29 | 30 | 30 | 31 | 31 | 32 |
| 60 | 1 | 25 | 26 | 27 | 28 | 29 | 29 | 30 | 30 | 31 |
| 90 | 1,5 | 24 | 25 | 26 | 26 | 27 | 28 | 28 | 29 | 29 |
| 120 | 2 | 23 | 24 | 25 | 25 | 26 | 27 | 27 | 28 | 28 |
| 180 | 3 | 22 | 23 | 23 | 24 | 25 | 26 | 26 | 26 | 27 |
| 240 | 4 | 21 | 22 | 23 | 23 | 24 | 25 | 25 | 25 | 26 |
| 360 | 6 | 21 | 21 | 22 | 23 | 23 | 24 | 24 | 25 | 25 |
| 540 | 9 | 21 | 21 | 22 | 22 | 23 | 23 | 24 | 24 | 25 |
| 720 | 12 | 21 | 22 | 22 | 23 | 23 | 24 | 24 | 24 | 24 |
| 1080 | 18 | 23 | 23 | 23 | 24 | 24 | 24 | 25 | 25 | 25 |
| 1440 | 24 | 24 | 24 | 24 | 24 | 25 | 25 | 25 | 26 | 26 |
| 2880 | 48 | 28 | 28 | 28 | 28 | 28 | 28 | 28 | 28 | 29 |
| 4320 | 72 | 31 | 31 | 31 | 31 | 31 | 31 | 31 | 31 | 31 |
| 5760 | 96 | 34 | 33 | 33 | 33 | 33 | 33 | 33 | 33 | 33 |
| 7200 | 120 | 35 | 35 | 35 | 35 | 34 | 34 | 34 | 34 | 34 |
| 8640 | 144 | 37 | 36 | 36 | 36 | 36 | 36 | 36 | 36 | 36 |
| 10080 | 168 | 38 | 38 | 37 | 37 | 37 | 37 | 37 | 37 | 37 |

Parameter für abweichende T und D

Lokationsparameter ξ (Xi)

20,54214374

Skalenparameter α (Alpha)

7,24374733

Formparameter κ (Kappa)

-0,1

1. Koutsoyiannis-Parameter θ (Theta)

0,01423588

2. Koutsoyiannis-Parameter η (Eta)

0,66831388

Parameter für dauerstufenübergreifende Extremwertschätzung nach KOUTSOYIANNIS et al. 1998.

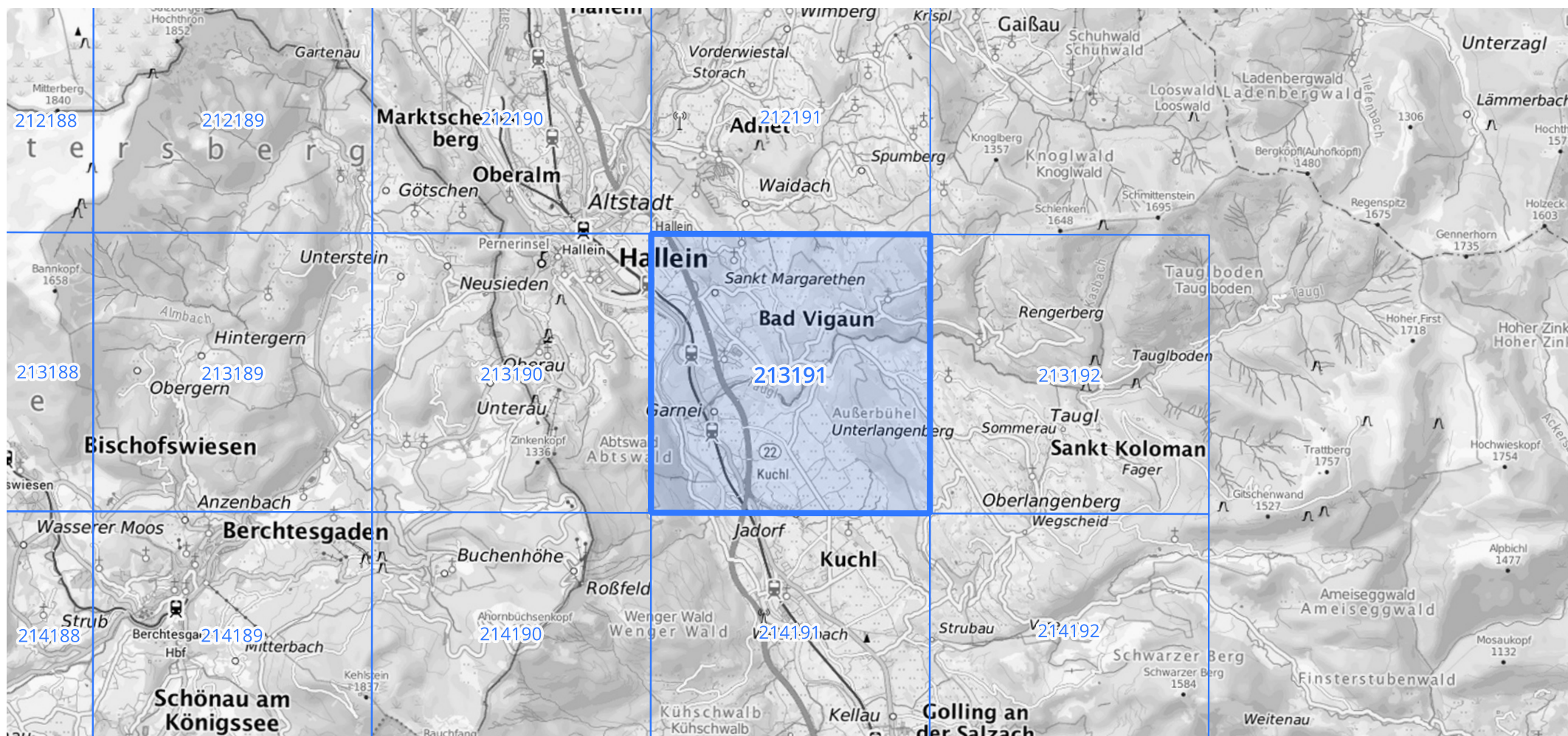
Siehe auch Anwendungshilfe zu KOSTRA-DWD-2020 des Deutschen Wetterdienstes.

Starkniederschlagshöhen und -spenden gemäß KOSTRA-DWD-2020

Rasterfeld 213191

(Zeile 213, Spalte 191)

Übersichtskarte des Rasterfeldes 213191, M 1 : 100 000



Quelle Rasterdaten: KOSTRA-DWD-2020 des Deutschen Wetterdienstes, Stand 12/2022.

Seite 3 von 3

Kartendarstellung: © Bundesamt für Kartographie und Geodäsie (2023), Datenquellen: https://sgx.geodatenzentrum.de/web_public/gdz/datenquellen/Datenquellen_TopPlusOpen.html

Für die Richtigkeit und Aktualität der Angaben wird keine Gewähr übernommen. Erstellt 01/2023.